

Задачи по курсу «Электродинамика сплошных сред», предлагаемые студентам 3 курса ФТФ и ФЭФ в 6 семестре

В порядковом номере задачи в скобках указывается либо номер этой же задачи в «Сборнике задач по электродинамике» В.В. Батыгина и И.Н. Топтыгина, либо номер задачи и страница в учебнике «Электродинамика сплошных сред» Л.Д. Ландау и Е.М. Лифшица, издание 1982 г. (сокращенно – ЭСС).

I. ПОСТОЯННОЕ ЭЛЕКТРИЧЕСКОЕ ПОЛЕ В ВАКУУМЕ

Задание 1.

1 (69). Бесконечная плоская плита толщиной a равномерно заряжена по объёму с плотностью ρ . Найти потенциал φ и напряженность \mathbf{E} электрического поля.

2 (70). Заряд распределен в пространстве по периодическому закону $\rho = \rho_0 \cos \alpha x \cos \beta y \cos \gamma z$, образуя бесконечную пространственную периодическую решетку. Найти потенциал φ электрического поля.

3 (71). Плоскость $z = 0$ заряжена с плотностью, меняющейся по закону $\sigma = \sigma_0 \sin \alpha x \sin \beta y$, где σ_0 , α , β – постоянные. Найти потенциал φ этой системы зарядов.

4 (73). Найти потенциал φ и напряженность E электрического поля равномерно заряженной прямолинейной бесконечной нити.

5 (74). Найти потенциал φ и напряженность E электрического поля равномерно заряженного прямолинейного отрезка длиной $2a$, занимающего часть оси z от $-a$ до $+a$; заряд отрезка q .

6 (75). Найти форму эквипотенциальных поверхностей равномерно заряженного отрезка, рассмотренного в предыдущей задаче.

7 (76). Найти потенциал φ и напряженность \mathbf{E} электрического поля шара, равномерно заряженного по объёму. Радиус шара R , заряд q .

8 (78). Внутри шара радиуса R , равномерно заряженного по объёму с плотностью ρ , имеется незаряженная шарообразная полость, радиус которой R_1 , а центр отстоит от центра шара на расстояние a ($a + R_1 < R$). Найти электрическое поле \mathbf{E} в полости.

Задание 2.

9 (79). Пространство между двумя концентрическими сферами, радиусы которых R_1 и R_2 ($R_1 < R_2$), заряжено с объемной плотностью $\rho = \alpha/r^2$. Найти полный заряд q , потенциал φ и напряженность \mathbf{E} электрического поля. Рассмотреть предельный случай $R_2 \rightarrow R_1$, считая при этом $q = \text{const}$.

10 (117). Равномерно заряженные нити, несущие заряды \varkappa_1 и $-\varkappa_2$ на единицу длины, параллельны между собой и отстоят друг от друга на расстояние h . Найти, при каком соотношении между \varkappa_1 и \varkappa_2 в числе поверхностей равного потенциала этой системы будут круговые цилиндры конечного радиуса. Определить радиусы и положение осей цилиндров.

11 (118). Точечные заряды q_1 и $-q_2$ находятся на расстоянии h друг от друга. Показать, что в числе поверхностей равного потенциала этой системы имеется сфера конечного радиуса. Определить координаты ее центра и радиус.

12 (123). Центры двух шаров с зарядами q_1 и q_2 находятся на расстоянии a друг от друга ($a > R_1 + R_2$, где R_1, R_2 – радиусы шаров). Заряды распределены сферически симметричным образом. Найти энергию взаимодействия U шаров и действующую между ними силу F .

13 (147). Двугранный угол между двумя заземленными проводящими плоскостями равен α_0 . Внутри угла находится точечный заряд q . Найти методом электрических изображений электрическое поле. Рассмотреть случай $\alpha_0 = 90^\circ$.

II. ЭЛЕКТРОСТАТИКА ПРОВОДНИКОВ И ДИЭЛЕКТРИКОВ

Задание 3.

14 (129). Точечный заряд q расположен на плоской границе раздела двух однородных бесконечных диэлектриков с проницаемостями ε_1 и ε_2 . Найти потенциал φ , напряженность \mathbf{E} , индукцию \mathbf{D} электрического поля.

15 (130). От некоторой прямой, на которой находится точечный заряд q , расходятся веерообразно три полуплоскости, образующие три двугранных угла $\alpha_1, \alpha_2, \alpha_3$ ($\alpha_1 + \alpha_2 + \alpha_3 = 2\pi$). Пространство внутри каждого из углов заполнено однородным диэлектриком с проницаемостью $\varepsilon_1, \varepsilon_2, \varepsilon_3$ соответственно. Определить потенциал φ , напряженность \mathbf{E} и индукцию \mathbf{D} электрического поля в трех областях.

16 (131). Центр проводящего шара радиуса a , заряд которого q , находится на плоской границе раздела двух бесконечных однородных диэлектриков с проницаемостями ε_1 и ε_2 . Найти потенциал φ электрического поля, а также распределение заряда σ на шаре.

17 (132). Пространство между обкладками сферического конденсатора частично заполнено диэлектриком, расположенным внутри телесного угла Ω с вершиной в центре обкладок. Радиусы обкладок a и b , проницаемость диэлектрика ε . Найти емкость C конденсатора.

18 (134). Сферический конденсатор с радиусами обкладок a и b заполнен диэлектриком, проницаемость которого зависит от расстояния r до центра по закону $\varepsilon(r) = \varepsilon_0 a^2/r^2$. Показать, что емкость такого конденсатора равна емкости

плоского конденсатора, заполненного однородным диэлектриком с проницаемостью ϵ_0 , у которого площадь обкладки $4\pi a^2$, расстояние между обкладками $b - a$ (краевым эффектом пренебречь).

19 (135). Плоский конденсатор заполнен диэлектриком, проницаемость которого изменяется по линейному закону $\epsilon = \epsilon_0(x+a)/a$, где a – расстояние между обкладками, ось x направлена перпендикулярно обкладкам, площадь которых S . Пренебрегая краевым эффектом, найти емкость C такого конденсатора и распределение в нем связанных зарядов, если к обкладкам приложена разность потенциалов V .

Задание 4: Решить методом изображений.

20 (153*). Проводящий шар радиуса R находится в поле точечного заряда q , отстоящего от центра шара на расстоянии $a > R$. Система погружена в однородный диэлектрик с проницаемостью ϵ . Найти потенциал φ и распределение σ индуцированных зарядов на шаре, если задан: а) потенциал шара V (на бесконечности $\varphi = 0$); б) заряд шара Q . Представить потенциал в виде суммы потенциалов нескольких точечных зарядов – изображений.

21 (154). В проводнике с потенциалом V имеется сферическая полость радиуса R , заполненная диэлектриком с проницаемостью ϵ . На расстоянии a от центра полости ($a < R$) находится точечный заряд q . Определить поле в полости. Найти эквивалентную систему зарядов – изображений.

22 (155). Заземленная проводящая плоскость имеет выступ в форме полусферы радиуса a . Центр сферы лежит на плоскости. На оси симметрии системы, на расстоянии $b > a$ от плоскости находится заряд q . Используя метод изображений, найти поле φ , а также заряд Q , индуцированный на выступе.

23 (156). Проводящий шар радиуса R_1 находится в однородном диэлектрике с проницаемостью ϵ_1 . Внутри шара имеется сферическая полость радиуса R_2 , заполненная однородным диэлектриком с проницаемостью ϵ_2 . В полости на расстоянии a от ее центра ($a < R_2$) расположен точечный заряд q . Найти поле φ во всем пространстве.

Задание 5: Решить задачи с помощью уравнения Пуассона (сферические координаты).

20 (153*). Проводящий шар радиуса R находится в поле точечного заряда q , отстоящего от центра шара на расстоянии $a > R$. Система погружена в однородный диэлектрик с проницаемостью ϵ . Найти потенциал φ и распределение σ индуцированных зарядов на шаре, если задан: а) потенциал шара V (на бесконечности $\varphi = 0$); б) заряд шара Q .

Указание: Использовать решение уравнения Лапласа в виде ряда по шаровым гармоникам и разложение поля точечного заряда.

21 (154). В проводнике с потенциалом V имеется сферическая полость радиуса R , заполненная диэлектриком с проницаемостью ϵ . На расстоянии a от центра полости ($a < R$) находится точечный заряд q . Определить поле в полости.

24 (157*). Диэлектрический шар радиуса R с проницаемостью ϵ_1 находится в однородном диэлектрике с проницаемостью ϵ_2 . На расстоянии $a > R$ от центра шара расположен точечный заряд q . Найти поле φ во всем пространстве и получить соответствующим предельным переходом поле проводящего шара; найти также силу, действующую на заряд q вследствие созданной им поляризации шара. Как изменится эта сила, если поместить симметрично относительно центра диэлектрического шара другой такой же точечный заряд?

25 (158). Точечный заряд q находится внутри диэлектрического шара радиуса R с проницаемостью ϵ_1 на расстоянии a от центра шара. Диэлектрическая проницаемость среды вне шара равна ϵ_2 . Найти поле во всем пространстве. Рассмотреть, в частности, случай $a = 0$ (заряд в центре шара).

Задание 6.

26 (161). Найти энергию U и силу F взаимодействия точечного заряда q с заземленным проводящим шаром радиуса R . Заряд находится на расстоянии a от центра шара. Система помещена в однородную диэлектрическую среду с проницаемостью ϵ .

27 (162). Точечный заряд q находится в диэлектрике на расстоянии a от центра проводящей изолированной сферы радиуса R . Заряд сферы Q . Найти энергию U и силу F взаимодействия заряда со сферой.

28 (164*). Электрический диполь \mathbf{p} находится в однородном диэлектрике на расстоянии r от центра заземленного проводящего шара радиуса R . Найти систему изображений, эквивалентную индуцированным зарядам, энергию взаимодействия U диполя с шаром, силу F и вращательный момент N , приложенные к диполю. Рассмотреть предельный случай $r \rightarrow R$ ($r > R$).

29 (165). В проводнике вырезана сферическая полость радиуса R . В центре полости находится электрический диполь с моментом \mathbf{p} . Найти распределение σ зарядов, индуцированных на поверхности полости. Какое поле \mathbf{E}' создается в полости этими зарядами?

Задание 7.

30 (172). Электростатическое поле образовано двумя проводящими цилиндрами с параллельными осями, радиусами R_1, R_2 и зарядами на единицу длины $\pm\kappa$. Расстояние между осями цилиндров $a > R_1 + R_2$. Найти взаимную емкость $C_{вз}$ цилиндров на единицу длины. ($C_{вз} = \kappa/(\varphi_1 - \varphi_2)$, где φ_1 и φ_2 – потенциалы цилиндров).

Указание: Воспользоваться результатом задачи **10 (117)**.

31 (174). Конденсатор образован двумя цилиндрическими проводящими поверхностями с радиусами R_1 и $R_2 > R_1$. Расстояние между осями цилиндров $a < R_2 - R_1$. Найти емкость C конденсатора.

32 (175). Определить поле φ точечного заряда в однородной анизотропной среде, характеризуемой тензором диэлектрической проницаемости ϵ_{ik} .

Задание 8.

33 (176). В пустоте находится плоскопараллельная пластинка из анизотропного однородного диэлектрика с тензором проницаемости ε_{ik} . Вне пластинки однородное электрическое поле \mathbf{E}_0 . Используя граничные условия для вектора поля, определить поле \mathbf{E} внутри пластинки.

34 (177). Найти емкость C плоского конденсатора с площадью обкладок S и расстоянием между ними a , если пространство между обкладками заполнено анизотропным диэлектриком с проницаемостью ε_{ik} . Краевым эффектом пренебречь.

35 [ЭСС №1 с.132]. В проводящую среду погружена система электродов, поддерживаемых при постоянных потенциалах φ_a . С каждого из электродов стекает ток I_a . Определить полное джоулево тепло, выделяющееся в среде за 1 сек.

36 (178). Найти изменение направления линий вектора \mathbf{E} при переходе из пустоты в анизотропный диэлектрик. Воспользоваться результатом задачи **33 (176)**.

III. ПОСТОЯННЫЙ ТОК

37 (226). В пространство между обкладками плоского конденсатора вставлены две плоскопараллельные проводящие пластинки, плотно прилегающие друг к другу и к обкладкам конденсатора. Пластинки имеют толщины h_1, h_2 , проводимости κ_1, κ_2 и диэлектрические проницаемости $\varepsilon_1, \varepsilon_2$. На обкладки конденсатора, изготовленные из материала с проводимостью, много большей чем κ_1, κ_2 , подана разность потенциалов V . Определить напряженность электрического поля E , электрическую индукцию D и плотность тока j в пластинках, а также плотности свободных σ и связанных $\sigma_{св}$ зарядов на всех трех границах.

Задание 9.

38 (229). Три проводника с круглыми сечениями одного и того же радиуса r соединены последовательно, образуя замкнутое кольцо. Длины проводников $l_0, l_1, l_2 \gg r$, проводимости $\kappa_0, \kappa_1, \kappa_2$. По объему проводника с проводимостью κ_0 равномерно распределена сторонняя э.д.с. \mathcal{E}_0 , не зависящая от времени. Найти электрическое поле E и распределение электрических зарядов внутри кольца.

39 (231). Распределение тока в трехмерном проводнике с проводимостью κ обладает такой симметрией, что во всех точках каждой его эквипотенциальной поверхности напряженность электрического поля, а следовательно, и плотность тока имеют одно и то же значение. Доказать, что в этом случае сопротивление проводника выражается той же формулой, что и сопротивление квазилинейного проводника с переменным сечением¹.

40 (232). Используя результат предыдущей задачи, найти сопротивления R :

- сферического конденсатора с радиусами обкладок a и $b, a < b$, заполненного однородной средой с проводимостью κ ;
- такого же конденсатора, заполненного двумя однородными слоями с проводимостями κ_1 и κ_2 (слой с κ_1 прилегает к внутренней обкладке), границей раздела между которыми является сфера радиуса c ;
- цилиндрического конденсатора с радиусами обкладок a и $b, a < b$ и длиной l , заполненного однородной проводимостью κ (краевого эффекта не рассматривать).

41 (233). Заземление осуществляется с помощью проводящего шара радиуса a , наполовину утопленного в землю (проводимость земли $\kappa_1 = \text{const}$). Слой земли радиуса b , концентрический с шаром и прилегающий к нему, имеет искусственно повышенную проводимость κ_2 . Найти сопротивление R такого заземлителя.

42 (235). Конденсатор произвольной формы заполнен однородным диэлектриком с проницаемостью ε . Найти емкость C этого конденсатора, если известно, что при заполнении его однородным проводником с проводимостью κ он оказывает постоянному току сопротивление R .

43 (240*). Частицы с зарядом e и массой m могут в неограниченном количестве испускаться плоским электродом $x = 0$. Испущенные с нулевой скоростью частицы ускоряются электрическим полем в направлении к другому электроду, параллельному первому и отстоящему от него на расстояние a . Разность потенциалов между электродами φ_0 . Эмиссия из первого электрода продолжается до тех пор, пока поле образовавшегося между электродами объемного заряда с плотностью ρ не компенсирует внешнее поле у поверхности первого электрода, так что напряженность электрического поля $E_x(0) = 0$. Найти зависимость плотности стационарного тока j между электродами от разности потенциалов φ_0 .

Указание: Потенциал в пространстве между электродами определяется уравнением Пуассона $\Delta\varphi = -4\pi\rho, \rho = j/v$, где v - скорость частиц в данной точке пространства.

¹Сформулированные условия совпадают с условиями, при выполнении которых можно пользоваться электростатической теоремой Гаусса в соответствующей электростатической задаче.

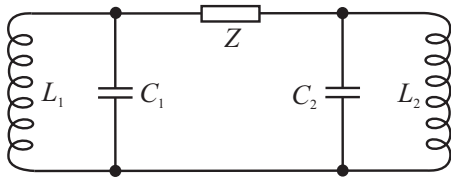


Рис. 1

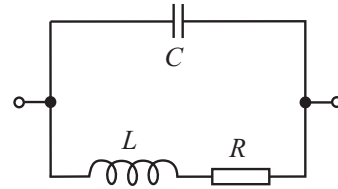


Рис. 2

IV. ПОСТОЯННОЕ МАГНИТНОЕ ПОЛЕ

Задание 10.

44 (241). Внутри тонкой проводящей цилиндрической оболочки радиуса b находится коаксиальный с ней провод радиуса a . По этим проводникам текут токи одинаковой величины \mathcal{I} в противоположных направлениях. Определить магнитное поле \mathbf{H} , создаваемое такой системой во всех точках пространства. Решить задачу двумя способами: интегрированием уравнений Максвелла и с помощью уравнения Максвелла в интегральной форме.

45 (242). Определить напряженность магнитного поля \mathbf{H} и магнитную индукцию \mathbf{B} , создаваемые постоянным током \mathcal{I} , текущим по бесконечному цилиндрическому проводнику кругового сечения радиуса a . Магнитная проницаемость проводника равна μ_0 , окружающего проводник вещества – μ . Решить задачу наиболее простым способом – с помощью уравнения Максвелла в интегральной форме, а также путем введения векторного потенциала \mathbf{A} .

46 (243). Решить предыдущую задачу для полого цилиндрического проводника (внутренний радиус a , наружный радиус b).

47 (244). Прямолинейная, бесконечно длинная полоса имеет ширину a . Вдоль полосы течет ток \mathcal{I} , равномерно распределенный по ее ширине. Найти магнитное поле \mathbf{H} . Проверить результат, рассмотрев предельный случай поля на больших расстояниях.

Задание 11.

48 (246). Найти векторный потенциал \mathbf{A} и магнитное поле \mathbf{H} , создаваемые двумя прямолинейными параллельными токами \mathcal{I} , текущими в противоположных направлениях. Расстояние между токами $2a$.

49 (247). Определить магнитное поле \mathbf{H} , создаваемые двумя параллельными плоскостями, по которым текут токи с одинаковыми поверхностными плотностями $i = \text{const}$. Рассмотреть два случая: а) токи текут в противоположных направлениях; б) токи направлены одинаково.

50 (248). Определить магнитное поле \mathbf{H} в цилиндрической полости, вырезанной в бесконечно длинном проводнике. Радиусы полости и проводника соответственно a и b , расстояние между их параллельными осями d ($b > a + d$). Ток \mathcal{I} распределен равномерно по сечению.

Указание: Использовать принцип суперпозиции полей.

51 (252). Определить магнитное поле \mathbf{H} на оси соленоида с густой намоткой, имеющего форму цилиндра. Высота цилиндра h , радиус a , число витков на единицу длины n , сила тока \mathcal{I} .

52 (262). Внутри тонкой проводящей цилиндрической оболочки радиуса b находится коаксиальный провод радиуса a , магнитная проницаемость которого μ_0 . Пространство между проводом и оболочкой заполнено веществом с магнитной проницаемостью μ . Найти коэффициент самоиндукции \mathcal{L} такой линии на единицу длины.

53 (263). Линия состоит из двух коаксиальных тонких цилиндрических оболочек с радиусами a и b ($a < b$), пространство между ними заполнено веществом с магнитной проницаемостью μ . Найти коэффициент самоиндукции \mathcal{L} на единицу длины.

V. КВАЗИСТАЦИОНАРНОЕ ЭЛЕКТРОМАГНИТНОЕ ПОЛЕ

Задание 12.

54 (354). Определить собственные частоты ω_1, ω_2 электрических колебаний в двух контурах (рис. 1), связь между которыми осуществляется через емкость C ($Z = i/\omega C$).

Указание: Составить систему уравнений для определения токов и приравнять нулю определитель системы.

55 (355). Решить предыдущую задачу для случая, когда связь между контурами осуществляется через индуктивность. (см. рис. 1, $Z = -i\omega L/c^2$).

56 (356). Найти собственные частоты колебаний $\omega_{1,2}$ в двух индуктивно связанных контурах с емкостями C_1, C_2 , индуктивностями L_1, L_2 и коэффициентом взаимной индукции L_{12} .

57 (358). В контур с индуктивностью L_1 , емкостью C_1 и сопротивлением R_1 включена сторонняя э.д.с. $\mathcal{E}(t) = \mathcal{E}_0 e^{-i\omega t}$. С этим контуром индуктивно связан второй контур, параметры которого L_2, C_2 и R_2 ; коэффициент взаимной индукции L_{12} . Определить токи \mathcal{I}_1 и \mathcal{I}_2 в обоих контурах. Рассмотреть, в частности, случай, когда второй контур содержит только индуктивность ($R_2 = 0, C_2 = \infty$); определить частоту ω , при которой ток \mathcal{I}_1 максимален.

58 (359). Найти комплексное сопротивление Z участка цепи (двухполюсника), изображенного на рис. 2.

59 [ЭСС №2 стр.301]. Определить собственные частоты электрических колебаний для цепи из параллельно соединенных сопротивления R , емкости C и самоиндукции L .

VI. ЭЛЕКТРОМАГНИТНЫЕ ВОЛНЫ

Задание 13.

60 (675). Доказать, что при равномерном движении заряженной свободной частицы в среде с показателем преломления $n(\omega)$ (масса частицы m , заряд e , скорость \mathbf{v}) может происходить излучение электромагнитных волн (эффект Вавилова–Черенкова)². Выразить угол θ между направлением распространения волны и направлением скорости \mathbf{v} частицы через v , ω , $n(\omega)$.

Указание: В покоящейся среде с показателем преломления $n(\omega)$ фотон обладает энергией $\mathcal{E} = \hbar\omega$ и импульсом $p = n(\omega)\frac{\hbar\omega}{c}$.

61 (676). Доказать, что свободный электрон, движущийся в среде со скоростью v может поглощать электромагнитные волны, частоты ω которых удовлетворяют неравенству $v > c/n(\omega)$, где $n(\omega)$ – показатель преломления среды.

62 (677). Частица, имеющая, вообще говоря, сложную структуру и содержащая внутри себя электрические заряды (например, атом), движется равномерно со скоростью \mathbf{v} в среде с показателем преломления $n(\omega)$ и находится в возбужденном состоянии. При переходе в нормальное состояние частица излучает квант с частотой ω_0 (в системе покоя). Этот квант наблюдается в лабораторной системе отсчета под углом ϑ к направлению движения частицы. Какая частота ω наблюдается в лабораторной системе (эффект Доплера в преломляющей среде)? Рассмотреть, в частности, случай $\omega_0 \rightarrow 0$.

Указание: Члены второго порядка по \hbar не учитывать, считать, что $\hbar\omega_0 \ll mc^2$, где m – масса частицы.

63 [ЭСС №1 стр.411]. Найти закон обращения коэффициента отражения в 1 вблизи угла полного отражения.

64 [ЭСС №2 стр.411]. Найти коэффициент отражения при почти скользющем падении света из пустоты на поверхность тела с близким к 1 значением ε .

²Аналогичный эффект может иметь место также при прохождении через вещество нейтральной частицы, обладающей электрическим или магнитным моментом.

Вспомогательный материал и ответы к задачам по курсу «Электродинамика сплошных сред», предлагаемые студентам 3 курса ФТФ и ФЭФ в 6 семестре

I. ПОСТОЯННОЕ ЭЛЕКТРИЧЕСКОЕ ПОЛЕ В ВАКУУМЕ

В этой главе содержатся задачи на определение потенциала $\varphi(\mathbf{r})$ и напряженности поля $\mathbf{E}(\mathbf{r})$ по заданному распределению зарядов, характеризующемуся объемной $\rho(\mathbf{r})$, поверхностной $\sigma(\mathbf{r})$ или линейной $\varkappa(\mathbf{r})$ плотностью. Распределение точечных зарядов может быть описано объемной плотностью $\rho(\mathbf{r}) = \sum_i q_i \delta(\mathbf{r} - \mathbf{r}_i)$, где q_i – величина i -го заряда, \mathbf{r}_i – радиус-вектор i -го заряда, $\delta(\mathbf{r} - \mathbf{r}_i)$ – δ -функция Дирака. Напряженность электрического поля удовлетворяет уравнениям Максвелла

$$\operatorname{div} \mathbf{E} = 4\pi\rho, \quad \operatorname{rot} \mathbf{E} = 0. \quad (1)$$

Бывает полезна интегральная форма первого из этих уравнений (электростатическая теорема Гаусса):

$$\oint_S \mathbf{E}_n dS = 4\pi q, \quad (2)$$

где S – некоторая замкнутая поверхность, q – полный заряд внутри этой поверхности. Потенциал и напряженность электрического поля связаны соотношениями

$$\mathbf{E} = -\operatorname{grad}\varphi, \quad \varphi(\mathbf{r}) = \int_{\mathbf{r}}^{\mathbf{r}_0} \mathbf{E} \cdot d\mathbf{r}, \quad \varphi(\mathbf{r}_0) = 0. \quad (3)$$

Потенциал φ удовлетворяет уравнению Пуассона

$$\Delta\varphi = -4\pi\rho. \quad (4)$$

Потенциал непрерывен и конечен во всех точках пространства, где нет точечных зарядов.

Задание 1.

1 (69). $\varphi_1 = -2\pi\rho z^2$, $\mathbf{E}_1 = -4\pi\rho z \mathbf{e}_z$ ($|z| < \frac{a}{2}$); $\varphi_2 = -\frac{1}{2}\pi\rho a(4|z| - a)$, $\mathbf{E}_2 = -2\pi\rho a \frac{z}{|z|} \mathbf{e}_z$ ($|z| > \frac{a}{2}$).

Ось z направлена по нормали к поверхности плиты.

2 (70). $\varphi(x, y, z) = \frac{4\pi\rho_0}{\alpha^2 + \beta^2 + \gamma^2} \cos \alpha x \cos \beta y \cos \gamma z$.

3 (71). При $z > 0$: $\varphi = \frac{2\pi\sigma_0}{\lambda} e^{-\lambda z} \sin \alpha x \sin \beta y$; при $z < 0$: $\varphi = \frac{2\pi\sigma_0}{\lambda} e^{\lambda z} \sin \alpha x \sin \beta y$, $\lambda = \sqrt{\alpha^2 + \beta^2}$. Экспоненциальное убывание потенциала вдоль оси z объясняется тем, что плоскость содержит разноименно заряженные участки.

4 (73). $\varphi = -2\varkappa \ln r$, $E = \frac{2\varkappa}{r}$, где \varkappa – заряд на единицу длины.

Произвольная постоянная в потенциале выбрана так, что $\varphi = 0$ при $r = 1$.

5 (74). $\varphi(x, y, z) = -\frac{q}{2a} \ln \left| \frac{z - a + \sqrt{(z - a)^2 + x^2 + y^2}}{z + a + \sqrt{(z + a)^2 + x^2 + y^2}} \right|$.

6 (75). Введем обозначения $z_1 = z + a$, $z_2 = z - a$, $r_{1,2} = \sqrt{x^2 + y^2 + z_{1,2}^2}$, $C = \frac{z_1 + r_1}{z_2 + r_2}$.

Из результата предыдущей задачи следует, что (нужно учесть, что $z_1 - z_2 = 2a$, $r_1^2 - r_2^2 = z_1^2 - z_2^2$)

$$r_1 + r_2 = 2a \frac{C + 1}{C - 1} = \text{const}. \quad (5)$$

Равенство (5) показывает, что эквипотенциальные поверхности представляют собой эллипсоиды вращения, фокусы которых совпадают с концами отрезка.

7 (76). $\varphi_1(r) = \frac{q}{R} \left(\frac{3}{2} - \frac{r^2}{2R^2} \right)$, $\mathbf{E}_1(r) = \frac{q\mathbf{r}}{R^3}$ ($r \leq R$); $\varphi_2(r) = \frac{q}{r}$, $\mathbf{E}_2(r) = \frac{q\mathbf{r}}{r^3}$ ($r \geq R$).

8 (78). Электрическое поле в полости однородно: $\mathbf{E} = \frac{4}{3}\pi\rho\mathbf{r} - \frac{4}{3}\pi\rho(\mathbf{r} - \mathbf{a}) = \frac{4}{3}\pi\rho\mathbf{a}$.

Задание 2.

9 (79). $q = 4\pi\alpha(R_2 - R_1)$; $E_1 = 0$, $\varphi_1 = \frac{q}{R_2 - R_1} \ln \frac{R_2}{R_1}$ при $r \leq R_1$; $E_2 = \frac{q(r - R_1)}{(R_2 - R_1)r^2}$, $\varphi_2 = \frac{q}{R_2 - R_1} \left(1 - \ln \frac{r}{R_2} - \frac{R_1}{r} \right)$

при $R_1 \leq r \leq R_2$; $E_3 = \frac{q}{r^2}$, $\varphi_3 = \frac{q}{r}$ при $r \geq R_2$; При $R_2 \rightarrow R_1 \equiv R$ и фиксированном значении заряда q получаем поле сферы, равномерно заряженной по поверхности.

10 (117). Выберем цилиндрическую систему координат, ось z которой совпадает с осью цилиндра (рис. 3). Вместо условия $\varphi|_S = \text{const}$ на поверхности S цилиндра удобнее использовать вытекающее из него условие $\left. \frac{\partial\varphi}{\partial\alpha} \right|_S = 0$. В результате дифференцирования получим

$$\frac{\varkappa_1 x_1}{R^2 + x_1^2 - 2R x_1 \cos \alpha} = \frac{\varkappa_2 x_2}{R^2 + x_2^2 - 2R x_2 \cos \alpha}.$$

Освободимся от знаменателей и приравняем по отдельности члены с $\cos \alpha$ и без него. В результате получим, что при $\varkappa_1 = \varkappa_2$ эквипотенциальной поверхностью будет любая цилиндрическая поверхность, ось которой параллельна

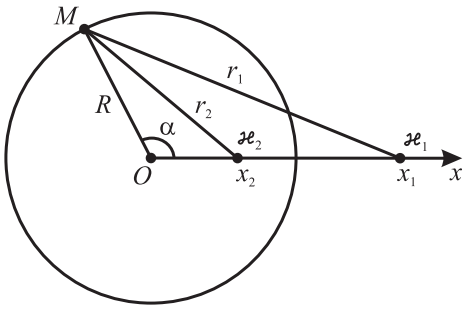


Рис. 3

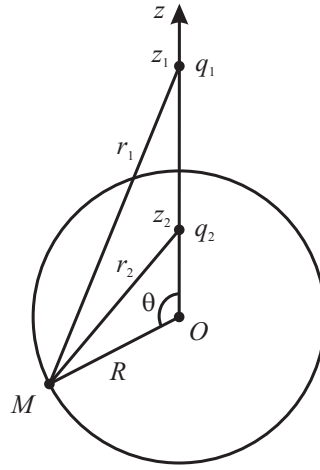


Рис. 4

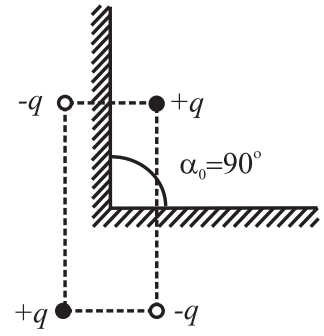


Рис. 5

заряженным нитям и лежит с ними в одной плоскости, а радиус удовлетворяет условию $R^2 = x_1 x_2$. При $x_1 = 0$ существует решение $x_2 = 0$. Этот случай соответствует цилиндрическим эквипотенциальным поверхностям в поле одной нити.

11 (118). Воспользуемся рис. 4. Радиус R искомой сферы и положение ее центра определяются уравнениями

$$R^2 = z_1 z_2, \quad \frac{z_1}{z_2} = \frac{q_1^2}{q_2^2}.$$

Потенциал на поверхности этой сферы равен нулю.

12 (123). $U = \frac{q_1 q_2}{a}, F = \frac{q_1 q_2}{a^2}.$

13 (147). Поле внутри двугранного угла создается системой зарядов, изображенной на рис. 5.

II. ЭЛЕКТРОСТАТИКА ПРОВОДНИКОВ И ДИЭЛЕКТРИКОВ

Электростатическое поле в диэлектрике характеризуется вектором напряженности электрического поля \mathbf{E} и вектором электрической индукции \mathbf{D} , которые удовлетворяют уравнениям Максвелла в дифференциальной форме

$$\text{rot } \mathbf{E} = 0, \quad \text{div } \mathbf{D} = 4\pi\rho, \quad (6)$$

или в интегральной форме

$$\oint_l \mathbf{E}_l dl = 0, \quad \oint_S \mathbf{D}_n dS = 4\pi q, \quad (7)$$

где ρ – плотность свободных зарядов в диэлектрике, q – полный свободный заряд, заключенный внутри поверхности S . Плотность связанных зарядов в диэлектрике можно выразить через вектор поляризации \mathbf{P} (электрический дипольный момент единицы объема диэлектрика, создаваемый связанными зарядами):

$$\rho_{\text{св}} = -\text{div } \mathbf{P}. \quad (8)$$

Вектор поляризации \mathbf{P} выражается через \mathbf{E} и \mathbf{D} :

$$\mathbf{D} = \mathbf{E} + 4\pi\mathbf{P}. \quad (9)$$

Для изотропных диэлектриков в достаточно слабых полях

$$\mathbf{D} = \varepsilon\mathbf{E}, \quad (10)$$

где ε – диэлектрическая проницаемость среды. В анизотропных диэлектриках ε – тензор II ранга, т.е.

$$D_i = \varepsilon_{ik} E_k, \quad (11)$$

(суммирование по k). Для описания поля удобно пользоваться скалярной величиной – потенциалом φ :

$$\mathbf{E} = -\text{grad } \varphi, \quad \varphi(\mathbf{r}) = \int_{\mathbf{r}}^{\mathbf{r}_0} \mathbf{E} \cdot d\mathbf{r}, \quad (12)$$

где \mathbf{r} – радиус-вектор точки наблюдения, $\varphi(\mathbf{r}_0) = 0$.

Потенциал удовлетворяет уравнению

$$\text{div}(\varepsilon \text{grad } \varphi) = -4\pi\rho, \quad (13)$$

которое в тех областях, где диэлектрик однороден, сводится к уравнению Пуассона

$$\Delta\varphi = -\frac{4\pi\rho}{\varepsilon}. \quad (14)$$

На поверхностях раздела сред с разными диэлектрическими проницаемостями должны выполняться граничные условия³

³ Граничные условия в форме (15) имеют место как в изотропных, так и в анизотропных средах.

$$E_{1\tau} = E_{2\tau}, \quad D_{2n} - D_{1n} = 4\pi\sigma \quad (15)$$

или

$$\varphi_1 = \varphi_2, \quad \varepsilon_1 \frac{\partial \varphi_1}{\partial n} - \varepsilon_2 \frac{\partial \varphi_2}{\partial n} = 4\pi\sigma. \quad (16)$$

Орт нормали \mathbf{n} проведен из первой среды во вторую; τ – орт, касательный к поверхности, σ – поверхностная плотность свободных зарядов. Поверхностная плотность связанных зарядов $\sigma_{\text{св}}$ на границах раздела определяется формулой

$$\sigma_{\text{св}} = P_{1n} - P_{2n}. \quad (17)$$

Основная задача электростатики – нахождение потенциала φ электрического поля. Она может быть решена разными методами. Основным методом является решение дифференциальных уравнений (13) или (14) с граничными условиями (15) или (16). Иногда удается подобрать такую систему фиктивных точечных зарядов, поле которой в рассматриваемой области удовлетворяет как дифференциальному уравнению, так и граничным условиям (метод изображений). В ряде случаев удается найти систему изображений простым подбором (см., например, далее, задачи 20–23).

Внутри проводников, находящихся в постоянном электрическом поле, $E = 0$. Поэтому, граничные условия на поверхности проводника имеют вид:

$$E_\tau = 0, \quad \varphi = \text{const}. \quad (18)$$

Если некоторая область пространства занята диэлектриком с проницаемостью ε , и известно электростатическое поле во всем пространстве, то при $\varepsilon \rightarrow \infty$ это поле принимает такой же вид, какой оно имело бы, если бы данная область была занята проводником.

Задача об определении электрического поля, создаваемого заданной ограниченной системой заряженных проводников, находящихся в диэлектрике, имеет единственное решение, если известен либо полный заряд каждого проводника, либо его потенциал. В первом из этих случаев, наряду с условиями (18) нужно использовать граничное условие

$$q = \oint_S \sigma dS = \oint_S \varepsilon \frac{\partial \varphi}{\partial n} dS, \quad (19)$$

где q – заряд проводника, а интеграл берется по поверхности проводника.

Емкостью C конденсатора называется отношение заряда на одной из обкладок (первой) к разности потенциалов между обкладками:

$$C = \frac{q}{\varphi_1 - \varphi_2}. \quad (20)$$

Емкостью C уединенного проводника называется отношение заряда проводника к его потенциалу (при этом нужно считать, что потенциал $\varphi = 0$ на бесконечности).

Задание 3.

$$14 \text{ (129)}. \quad \varphi_1 = \varphi_2 = \frac{2}{\varepsilon_1 + \varepsilon_2} \frac{q}{r}, \quad \mathbf{D}_1 = \frac{2\varepsilon_1}{\varepsilon_1 + \varepsilon_2} \frac{q\mathbf{r}}{r^3}, \quad \mathbf{D}_2 = \frac{2\varepsilon_2}{\varepsilon_1 + \varepsilon_2} \frac{q\mathbf{r}}{r^3}.$$

$$15 \text{ (130)}. \quad \varphi_1 = \varphi_2 = \varphi_3 = \frac{2\pi}{\varepsilon_1\alpha_1 + \varepsilon_2\alpha_2 + \varepsilon_3\alpha_3} \frac{q}{r}, \quad \mathbf{D}_i = \frac{2\pi\varepsilon_i}{\varepsilon_1\alpha_1 + \varepsilon_2\alpha_2 + \varepsilon_3\alpha_3} \frac{q\mathbf{r}}{r^3}.$$

16 (131). Граничным условием ($\varphi = \text{const}$ на поверхности проводника и $\varphi = 0$ при $r \rightarrow \infty$) можно удовлетворить потенциалом вида $\varphi = C/r$; постоянная C определяется из условия $\oint_S D_n dS = 4\pi q$, $C = 2/(\varepsilon_1 + \varepsilon_2)$. Отсюда находим распределение поверхностных зарядов:

$$\sigma_1 = \frac{q\varepsilon_1}{2\pi a^2(\varepsilon_1 + \varepsilon_2)}, \quad \sigma_2 = \frac{q\varepsilon_2}{2\pi a^2(\varepsilon_1 + \varepsilon_2)}; \quad \sigma_{1\text{св}} = \frac{q(\varepsilon_1 - 1)}{2\pi a^2(\varepsilon_1 + \varepsilon_2)}, \quad \sigma_{2\text{св}} = \frac{q(\varepsilon_2 - 1)}{2\pi a^2(\varepsilon_1 + \varepsilon_2)}.$$

$$17 \text{ (132)}. \quad C = \left[\frac{(\varepsilon - 1)\Omega}{4\pi} + 1 \right] \frac{ab}{b - a}.$$

19 (135). Емкость конденсатора

$$C = \frac{\varepsilon_0 S}{4\pi a \ln 2}.$$

Поверхностная плотность связанных зарядов

$$\sigma_{\text{св}} = -\sigma \left(1 - \frac{1}{\varepsilon_0} \right) \text{ при } x = 0, \quad \sigma_{\text{св}} = \sigma \left(1 - \frac{1}{2\varepsilon_0} \right) \text{ при } x = a.$$

Объемная плотность

$$\rho_{\text{св}} = -\frac{\sigma a}{\varepsilon_0(x + a)^2}.$$

($\sigma = \varepsilon V / (4\pi a \ln 2)$ – поверхностная плотность заряда обкладки при $x = 0$).

Задание 4: Решить методом изображений.

20 (153*). Так как поверхность шара является эквипотенциальной, то, в соответствии с задачей 11 (118), потенциал, создаваемый индуцированными на шаре зарядами, эквивалентен потенциалу, создаваемому точечным зарядом-изображением q' (см. рис. 6),

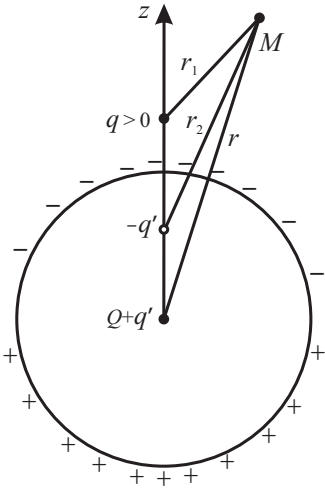


Рис. 6

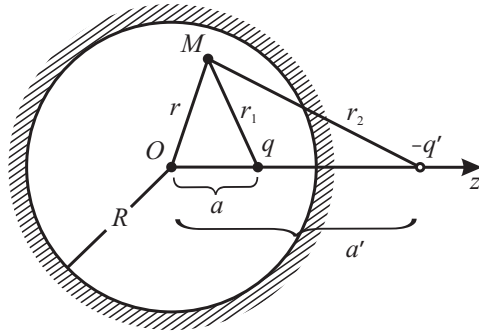


Рис. 7

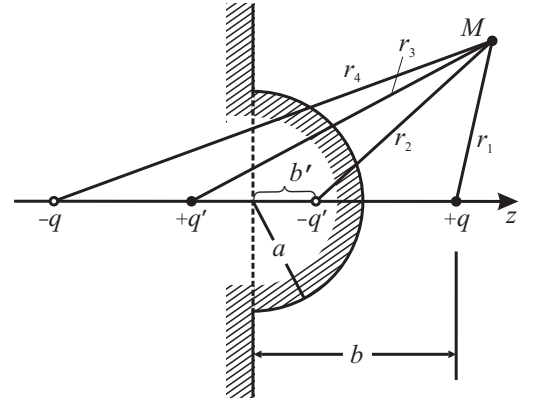


Рис. 8

$$\varphi(r, \theta) = \frac{q}{\varepsilon r_1} - \frac{q'}{\varepsilon r_2}, \quad \text{где } q' = qR/a, \quad r_2 = \sqrt{r^2 + a'^2 - 2a'r \cos \theta}, \quad a' = R^2/a.$$

В случае а) поверхность шара поддерживается при постоянном потенциале V . Это эквивалентно помещению дополнительного заряда Q' в центр шара, $\varphi(R) = [Q'/(4\pi\varepsilon R)] = V$. Отсюда $Q' = 4\pi\varepsilon R V$, а значит

$$\varphi(r, \theta) = \frac{q}{\varepsilon r_1} + \frac{VR}{\varepsilon r} - \frac{q'}{\varepsilon r_2}.$$

Поверхностную плотность заряда можно определить из граничных условий (16),

$$\sigma(R, \theta) = -\frac{\varepsilon}{4\pi} \frac{\partial \varphi}{\partial r} \Big|_{r=R} = \frac{\varepsilon V}{4\pi R} - \frac{q(a^2 - R^2)}{4\pi R(R^2 + a^2 - 2aR \cos \theta)^{3/2}}.$$

В случае б) потенциал V неизвестен и должен быть выражен через заряд Q шара. Очевидно,

$$Q = 2\pi \int \sigma(R, \theta) R^2 \sin \theta d\theta = \varepsilon V R - \frac{qR}{a}.$$

откуда $V = Q/(4\pi\varepsilon R) + q/(4\pi\varepsilon a)$. В результате получим

$$\varphi(r, \theta) = \frac{q}{\varepsilon r_1} + \frac{Q + q'}{4\pi\varepsilon r} - \frac{q'}{\varepsilon r_2}.$$

Таким образом, потенциал точечного заряда и заряженного шара в области $r > a$ сводится к потенциалу четырех точечных зарядов, расположенных на оси симметрии: заряда q на расстоянии a от начала координат и трех его изображений – зарядов Q и $q' = qR/a$ в начале координат и заряда $-q'$ в гармонически сопряженной относительно поверхности шара точке $a' = R^2/a$. Заряд $-q'$ описывает действие зарядов, индуцированных на ближайшей к q стороне поверхности шара. Знак этих зарядов, очевидно, противоположен знаку q . Заряд $+q'$ описывает действие зарядов одного с q знака, индуцированных на удаленной от q части шара.

21 (154). $\varphi(M) = \frac{q}{\varepsilon r_1} - \frac{q'}{\varepsilon r_2} + V$ (рис. 7), где $q' = q\frac{R}{a}$, $a' = \frac{R^2}{a}$.

22 (155). $\varphi(M) = \frac{q}{\varepsilon r_1} - \frac{q'}{\varepsilon r_2} + \frac{q'}{\varepsilon r_3} - \frac{q}{\varepsilon r_4}$ (рис. 8), где $q' = q\frac{a}{b}$, $b' = \frac{a^2}{b}$. Заряд на выступе $Q = -q \left[1 - \frac{b^2 - a^2}{b\sqrt{a^2 + b^2}} \right]$.

23 (156). $\varphi \equiv \varphi_1 = \frac{q}{\varepsilon_1 r_1}$ – вне шара, $\varphi \equiv \varphi_3 = \frac{q}{\varepsilon_1 R_1}$ – в проводнике, $\varphi \equiv \varphi_2 = \frac{q}{\varepsilon_2 r_1} - \frac{q'}{\varepsilon_2 r_2} + \frac{q}{\varepsilon_1 R_1}$ – в полости (рис. 9), где $q' = q\frac{R_2}{a}$, $a' = \frac{R_2^2}{a}$.

Задание 5: Решить задачи с помощью уравнения Пуассона (сферические координаты).

20 (153*). Выберем полюс сферической системы координат в центре шара (рис. 6), полярную ось проведем через точечный заряд. Будем искать потенциал в форме

$$\varphi(r, \theta, \alpha) = \frac{q}{\varepsilon r_1} + \sum_{l, m} \left(a_{lm} r^l + \frac{b_{lm}}{r^{l+1}} \right) P_{lm}(\cos \theta) e^{im\alpha}, \quad (21)$$

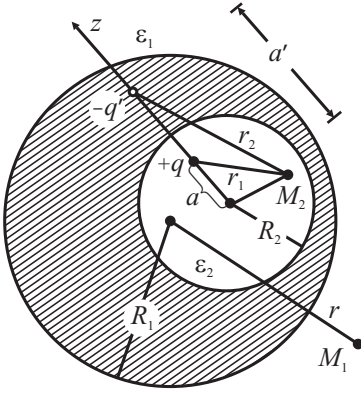


Рис. 9

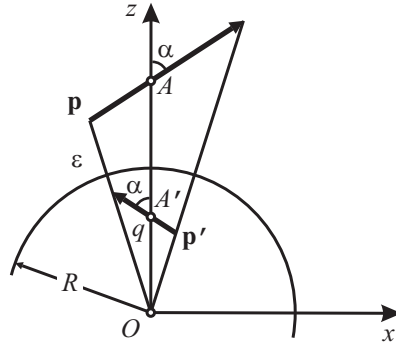


Рис. 10

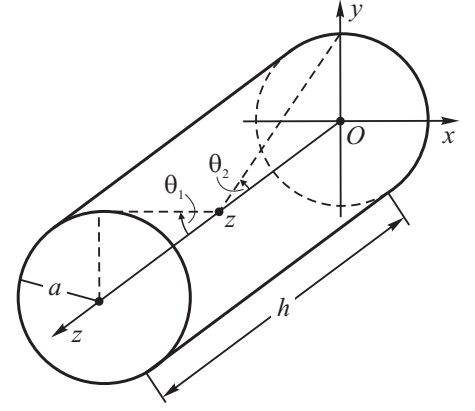


Рис. 11

где r_1 – расстояние от q_1 до точки наблюдения. Ряд, входящий в (21), описывает поле зарядов, индуцированных на шаре. Это поле должно исчезать на бесконечности, поэтому $a_{lm} = 0$. Вследствие симметрии потенциал не зависит от угла α , поэтому члены с $m \neq 0$ также отсутствуют. Оставшиеся константы $b_l \equiv b_{l0}$ определим из граничных условий.

В случае а) потенциал шара $\varphi(r, \theta) = V = \text{const}$. Воспользуемся разложением поля для точечного заряда по шаровым гармоникам (ответ к задаче (96); заряд q находится в точке с координатами $(r_0, \theta_0, \alpha_0)$):

$$\varphi(r, \theta, \alpha) = q \sum_{l, m} \frac{4\pi}{2l+1} \frac{r^l}{r_0^{l+1}} Y_{lm}^*(\theta_0, \alpha_0) Y_{lm}(\theta, \alpha), \quad \text{при } r < r_0;$$

$$\varphi(r, \theta, \alpha) = q \sum_{l, m} \frac{4\pi}{2l+1} \frac{r_0^l}{r^{l+1}} Y_{lm}^*(\theta_0, \alpha_0) Y_{lm}(\theta, \alpha), \quad \text{при } r > r_0.$$

В результате получим выражение для потенциала на шаре

$$\varphi(R, \theta) = \sum_{l=0}^{\infty} \left(\frac{qR^l}{\varepsilon a^{l+1}} + \frac{b_l}{R^{l+1}} \right) P_l(\cos \theta) = V.$$

Отсюда $b_l = -\frac{qR^{2l+1}}{\varepsilon a^{l+1}}$ при $l \neq 0$, $b_0 = VR - \frac{Rq}{\varepsilon a}$, так что потенциал вне шара:

$$\varphi(r, \theta) = \frac{q}{\varepsilon r_1} + \frac{VR}{r} - \frac{qR}{\varepsilon a} \sum_{l=0}^{\infty} \left(\frac{R^2}{a} \right)^l \frac{P_l(\cos \theta)}{r^{l+1}}. \quad (22)$$

Теперь находим плотность зарядов, наведенных на поверхности шара:⁴

$$\sigma(R, \theta) = -\frac{\varepsilon}{4\pi} \frac{\partial \varphi}{\partial r} \Big|_{r=R} = \frac{\varepsilon V}{4\pi R} - \frac{q}{4\pi} \sum_{l=0}^{\infty} (2l+1) \frac{R^{l+1}}{a^{l+1}} P_l(\cos \theta). \quad (23)$$

В случае б) потенциал V неизвестен и должен быть выражен через заряд Q шара. Очевидно,

$$Q = 2\pi \int \sigma(R, \theta) R^2 \sin \theta d\theta = \varepsilon VR - \frac{qR}{a}.$$

откуда $V = Q/(\varepsilon R) + q/(\varepsilon a)$. В результате получим

$$\varphi(r, \theta) = \frac{q}{\varepsilon r_1} + \frac{Q+q'}{\varepsilon r} - \frac{qR}{\varepsilon a} \sum_{l=0}^{\infty} \left(\frac{R^2}{a} \right)^l \frac{P_l(\cos \theta)}{r^{l+1}}, \quad \text{где } q' = qR/a.$$

$$\mathbf{21 (154)}. \varphi(M) = \frac{q}{\varepsilon r_1} - \frac{q}{\varepsilon R} \sum_{l=0}^{\infty} \left(\frac{ar}{R^2} \right)^l P_l(\cos \theta) + V.$$

$$\mathbf{24 (157*)}. \varphi_1(r, \theta) = q \sum_{l=0}^{\infty} \frac{2l+1}{l\varepsilon_1 + (l+1)\varepsilon_2} \cdot \frac{r^l}{a^{l+1}} P_l(\cos \theta) \quad \text{при } r \leq R;$$

$$\varphi_2(r, \theta) = \frac{q}{\varepsilon_2 r_1} + q \frac{\varepsilon_2 - \varepsilon_1}{\varepsilon_2} \sum_{l=0}^{\infty} \frac{l}{l\varepsilon_1 + (l+1)\varepsilon_2} \cdot \frac{R^{2l+1}}{a^{l+1}} \frac{P_l(\cos \theta)}{r^{l+1}} \quad \text{при } r \geq R,$$

⁴Члены, подобные последнему слагаемому в (22), иногда могут быть преобразованы в потенциал фиктивного точечного заряда с помощью выражения для производящей функции для полиномов Лежандра, $\frac{1}{R} = \frac{1}{|\mathbf{r} - \mathbf{r}'|} = \frac{1}{\sqrt{r^2 + r'^2 - 2rr' \cos \theta}} = \sum_{l=0}^{\infty} \frac{r'^l}{r^{l+1}} P_l(\cos \theta)$

где r_1 – расстояние от q до точки наблюдения. Здесь потенциал не может быть представлен простой системой изображений, в отличие от случая проводящего шара. При $\varepsilon \rightarrow \infty$ получим результат задачи **20 (153)**.

$$\mathbf{25 (158)}. \varphi_1(r, \theta) = \frac{q}{\varepsilon_1 r_1} + q \frac{\varepsilon_1 - \varepsilon_2}{\varepsilon_1} \sum_{l=0}^{\infty} \frac{l+1}{\varepsilon_1 l + \varepsilon_2(l+1)} \cdot \frac{a^l r^l}{R^{2l+1}} P_l(\cos \theta) \text{ при } r \leq R;$$

$$\varphi_2(r, \theta) = q \sum_{l=0}^{\infty} \frac{2l+1}{\varepsilon_1 l + \varepsilon_2(l+1)} \cdot \frac{a^l}{r^{l+1}} P_l(\cos \theta) \text{ при } r \geq R,$$

где r_1 – расстояние от точки наблюдения до заряда q . При $a = 0$, $\varphi_1 = \frac{q}{\varepsilon_1 r} \left(1 - \frac{\varepsilon_2}{\varepsilon_1}\right) \frac{q}{\varepsilon_2 R}$, $\varphi_2 = \frac{q}{\varepsilon_2 r}$.

Задание 6.

26 (161). При увеличении заряда q на dq энергия U его взаимодействия с шаром возрастает на $dU = \varphi' dq$, где φ' – потенциал индуцированных на шаре зарядов. Но этот потенциал сам пропорционален q : $\varphi' = \text{const} \cdot q$. Поэтому

$$U = \int_0^q dU = \frac{\text{const}}{2} q^2 = \frac{1}{2} \varphi' q. \quad (24)$$

Если бы величина φ' не зависела от q (потенциал внешнего поля), то энергия взаимодействия была бы вдвое больше ($U = \varphi' q$). Используя (24) и результаты задачи **20 (153)**, получим

$$U = -\frac{q^2 R}{2\varepsilon(a^2 - R^2)}, \quad \text{откуда } F = -\frac{q^2 a R}{\varepsilon(a^2 - R^2)^2}.$$

$$\mathbf{27 (162)}. U = \frac{Qq}{\varepsilon a} - \frac{q^2 R^3}{2a^2 \varepsilon(a^2 - R^2)}; \quad F = \frac{Qq}{\varepsilon a^2} - \frac{q^2 R^3(2a^2 - R^2)}{\varepsilon a^3(a^2 - R^2)^2}.$$

В случае одноименных зарядов $Qq > 0$, и сила взаимодействия может обратиться в нуль, а при достаточно больших q или малых расстояниях a – даже стать отрицательной (притяжение).

28 (164*). Изображением электрического диполя $\mathbf{p} = p(\mathbf{e}_x \sin \alpha + \mathbf{e}_z \cos \alpha)$ в заземленном шаре является система, состоящая из точечного заряда $q = \frac{pR}{r^2} \cos \alpha$ и диполя $\mathbf{p}' = p \left(\frac{R}{r}\right)^3 (-\mathbf{e}_x \sin \alpha + \mathbf{e}_z \cos \alpha)$, находящихся в точке A' (рис. 10) на расстоянии $r' = \frac{R^2}{r}$ от центра шара.

$$U = -\frac{p^2 R(r^2 \cos^2 \alpha + R^2)}{2\varepsilon(r^2 - R^2)^3}, \quad F = -\frac{p^2 Rr}{\varepsilon(r^2 - R^2)^4} [(2r^2 + R^2) \cos^2 \alpha + 3R^2], \quad N = -\frac{p^2 Rr^2 \sin 2\alpha}{2\varepsilon(r^2 - R^2)^3}.$$

В предельном случае $r \rightarrow R$ получим, полагая $r = R + z$, $R \rightarrow \infty$, $z = \text{const}$, результаты задачи (148) (диполь у проводящей плоскости).

$$\mathbf{29 (165)}. \sigma = -\frac{3p}{4\pi R^3} \cos \theta, \text{ где } \theta - \text{угол между } \mathbf{p} \text{ и направлением из центра в точку наблюдения.}$$

Индукцированные заряды создают в полости однородное поле $\mathbf{E} = \mathbf{p}/R^3$.

Задание 7.

$$\mathbf{30 (172)}. C_{\text{вз}} = \frac{\varkappa}{\varphi_1 - \varphi_2} = \frac{1}{2} \left[\text{arcch} \frac{a^2 - R_1^2 - R_2^2}{2R_1 R_2} \right]^{-1}.$$

$$\mathbf{31 (174)}. C = \frac{1}{2} \left[\text{arcch} \frac{R_1^2 + R_2^2 - a^2}{2R_1 R_2} \right]^{-1}.$$

32 (175). Если оси x, y, z параллельны главным осям тензора ε_{ik} , то

$$\varphi(x, y, z) = \frac{e'}{r'} = \frac{e}{\sqrt{\varepsilon(x)\varepsilon(y)\varepsilon(z)}} \left[\frac{x^2}{\varepsilon(x)} + \frac{y^2}{\varepsilon(y)} + \frac{z^2}{\varepsilon(z)} \right]^{-1/2}. \quad (25)$$

При произвольной ориентации координатной системы формула (25) запишется в виде

$$\varphi(\mathbf{r}) = \frac{e}{\sqrt{|\varepsilon_{ik}| \varepsilon_{ik}^{-1} x_i x_k}}, \quad \text{где } |\varepsilon_{ik}| - \text{определитель тензора } \varepsilon_{ik}.$$

Задание 8.

$$\mathbf{33 (176)}. \mathbf{E} = \mathbf{E}_0 - \frac{(\varepsilon_{ik} - \delta_{ik}) n_i E_{0k}}{\varepsilon_{lm} n_l n_m}, \text{ где } \mathbf{n} - \text{вектор нормали к поверхности пластинки.}$$

$$\mathbf{34 (177)}. C = \frac{S\varepsilon(z)}{4\pi a}, \text{ где } z - \text{координата, нормальная к пластинам конденсатора.}$$

35 [ЭСС №1 с.132]. Искомое тепло Q дается интегралом.

$$Q = \int \mathbf{j} \mathbf{E} dV = - \int \mathbf{j} \nabla \varphi dV = - \int \operatorname{div}(\varphi \mathbf{j}) dV,$$

взятым по объему среды. Преобразуем этот интеграл в интеграл по поверхности, учитывая, что на внешней границе среды $j_n = 0$, а на поверхности электродов $\varphi = \text{const} \equiv \varphi_a$. В результате получим

$$Q = \sum_a \varphi_a I_a$$

36 (178). Если выбрать оси x, z в плоскости $\mathbf{E}_0, \mathbf{n}, z \parallel \mathbf{n}$ то

$$\operatorname{tg} \theta = \frac{E_x}{E_z} = \frac{\varepsilon_{zz} \operatorname{tg} \theta_0}{1 - \varepsilon_{zx} \operatorname{tg} \theta_0}, \quad \text{где } \operatorname{tg} \theta_0 = \frac{E_{0x}}{E_{0z}}.$$

При этом силовая линия в диэлектрике остается в плоскости \mathbf{E}_0, \mathbf{n} .

III. ПОСТОЯННЫЙ ТОК

Распределение постоянных токов в проводящей среде с удельной проводимостью $\varkappa(\mathbf{r})$ описывается объемной плотностью тока $\mathbf{j}(\mathbf{r})$, удовлетворяющей уравнению

$$\operatorname{div} \mathbf{j} = 0. \quad (26)$$

Уравнение (26) является следствием закона сохранения заряда. Плотность тока в среде пропорциональна сумме напряженности электрического поля \mathbf{E} и напряженности поля электродвижущих сил (э.д.с.) $\mathbf{E}_{\text{ст}}$ (закон Ома):

$$\mathbf{j} = \varkappa (\mathbf{E} + \mathbf{E}_{\text{ст}}). \quad (27)$$

Поле сторонних электродвижущих сил $\mathbf{E}_{\text{ст}}$ учитывает действие на заряды среды сил неэлектрического происхождения.

Для описания электрического поля \mathbf{E} и распределения токов \mathbf{j} в проводнике удобно, как и в электростатике, ввести скалярный потенциал φ , связанный с напряженностью поля формулой $\mathbf{E} = -\operatorname{grad} \varphi$. Из этого определения и из (26), (27) следует основное дифференциальное уравнение для φ :

$$\operatorname{div}(\varkappa \operatorname{grad} \varphi) = \operatorname{div} \varkappa \mathbf{E}_{\text{ст}}. \quad (28)$$

На поверхностях разрыва \varkappa или $\mathbf{j}_{\text{ст}} = \varkappa \mathbf{E}_{\text{ст}}$ уравнение (28) заменяется граничными условиями

$$\varkappa_2 E_{2n} - \varkappa_1 E_{1n} = j_{\text{ст}1n} - j_{\text{ст}2n}, \quad (29)$$

$$\varphi_1 = \varphi_2. \quad (30)$$

Задание 9.

$$37 (226). E_1 = \frac{\varkappa_2 V}{\varkappa_1 h_2 + \varkappa_2 h_1}, D_1 = \frac{\varepsilon_1 \varkappa_2 V}{\varkappa_1 h_2 + \varkappa_2 h_1}; E_2 = \frac{\varkappa_1 V}{\varkappa_1 h_2 + \varkappa_2 h_1}, D_2 = \frac{\varepsilon_2 \varkappa_1 V}{\varkappa_1 h_2 + \varkappa_2 h_1}; j_1 = j_2 = \frac{\varkappa_1 \varkappa_2 V}{\varkappa_1 h_2 + \varkappa_2 h_1}.$$

На границе раздела между пластинами:

$$\sigma_{\text{св}} = \frac{E_2 - E_1}{4\pi} - \sigma = \frac{\varkappa_2(\varepsilon_1 - 1) - \varkappa_1(\varepsilon_2 - 1)}{4\pi(\varkappa_1 h_2 + \varkappa_2 h_1)} V, \quad \sigma = \frac{D_2 - D_1}{4\pi} = \frac{(\varepsilon_2 \varkappa_1 - \varepsilon_1 \varkappa_2) V}{4\pi(\varkappa_1 h_2 + \varkappa_2 h_1)}.$$

Величина V больше нуля, если первая пластинка прилегает к положительно заряженной обкладке. У границы обкладки и первой пластинки

$$\sigma = \frac{D_1}{4\pi}, \quad \sigma_{\text{св}} = \frac{E_1 - D_1}{4\pi}.$$

У границы обкладки и второй пластинки

$$\sigma = -\frac{D_2}{4\pi}, \quad \sigma_{\text{св}} = -\frac{E_2 - D_2}{4\pi}.$$

38 (229). $E_0 = -k(\varkappa_2 l_1 + \varkappa_1 l_2) \mathcal{E}_0$, $E_1 = k \varkappa_2 \mathcal{E}_0$, $E_2 = k \varkappa_1 \mathcal{E}_0$, где $k = \frac{\varkappa_0}{l_0(\varkappa_0 \varkappa_1 l_2 + \varkappa_0 \varkappa_2 l_1 + \varkappa_1 \varkappa_2 l_0)}$, $\mathcal{E}_0 = E_{\text{ст}} l_0$ — э.д.с. источника. Внутри него электрическое поле противоположно току ($E_0 < 0$).

Заряды, создающие это электрическое поле, возникают на границах раздела проводников с разными проводимостями и могут быть определены с помощью граничных условий; например, заряд на границе 01 равен

$$q_{01} = \frac{r^2}{4} (E_1 - E_0).$$

39 (231). $R = \int_1^2 \frac{dl}{S \varkappa}$, где элемент dl направлен по нормали к эквипотенциальной поверхности с площадью S ; цифрами 1 и 2 обозначены граничные поверхности проводника.

$$40 \text{ (232)}. \text{ а) } R = \frac{1}{4\pi\kappa} \left(\frac{1}{a} - \frac{1}{b} \right); \quad \text{б) } R = \frac{1}{4\pi\kappa_1} \left(\frac{1}{a} - \frac{1}{c} \right) + \frac{1}{4\pi\kappa_2} \left(\frac{1}{c} - \frac{1}{b} \right); \quad \text{в) } R = \frac{1}{2\pi l\kappa} \ln \frac{b}{a}.$$

$$41 \text{ (233)}. R = \frac{1}{2\pi\kappa_2} \left(\frac{1}{a} - \frac{1}{b} \right) + \frac{1}{2\pi\kappa_1} \frac{1}{b}.$$

$$42 \text{ (235)}. C = \frac{\varepsilon}{4\pi\kappa R}.$$

43 (240*). Плотность тока в пространстве между электродами

$$j = \rho v \quad (31)$$

не зависит от x ($v(x)$ – скорость частиц в данной точке x). Скорость связана с потенциалом $\varphi(x)$ формулой

$$v = \sqrt{-\frac{2e\varphi}{m}} \quad (\varphi = 0 \text{ при } x = 0). \quad (32)$$

Из (31) и (32) следует, что $\rho = j \sqrt{-\frac{m}{2e\varphi}}$, так как уравнение Пуассона принимает вид

$$\frac{\partial^2 \varphi}{\partial x^2} = 4\pi j \sqrt{-\frac{m}{2e\varphi}}. \quad (33)$$

Интегрируя (33) с граничными условиями $\left. \frac{\partial \varphi}{\partial x} \right|_{x=0} = 0$ и $\varphi|_{x=a} = \varphi_0$, получим

$$j = \frac{1}{9\pi a^2} \sqrt{\frac{2|e|}{m}} |\varphi_0|^{3/2} \quad (\text{«закон трех вторых»}).$$

IV. ПОСТОЯННОЕ МАГНИТНОЕ ПОЛЕ

Уравнения Максвелла в случае постоянного магнитного поля принимают вид

$$\text{rot } \mathbf{H} = \frac{4\pi}{c} \mathbf{j}, \quad \text{div } \mathbf{B} = 0, \quad (34)$$

где \mathbf{B} – магнитная индукция, \mathbf{H} – напряженность магнитного поля, \mathbf{j} – плотность объемного тока, c – электродинамическая постоянная ($c = 3 \times 10^{10}$ см/сек).

В изотропных диа- и парамагнетиках \mathbf{B} и \mathbf{H} связаны соотношением

$$\mathbf{B} = \mu \mathbf{H}, \quad (35)$$

где μ – магнитная проницаемость вещества (скаляр); в случае анизотропных веществ μ является тензором II ранга. Плотность молекулярных токов $\mathbf{j}_{\text{мол}}$ в веществе, находящемся в постоянном магнитном поле, выражается через вектор намагниченности \mathbf{M} (магнитный момент единицы объема) по формуле

$$\mathbf{j}_{\text{мол}} = c \text{rot } \mathbf{M}, \quad (36)$$

Вектор \mathbf{M} связан с \mathbf{B} и \mathbf{H} соотношением

$$\mathbf{B} = \mathbf{H} + 4\pi \mathbf{M}. \quad (37)$$

Основные методы решения задачи об определении магнитного поля в неферромагнитной среде:

а) *Использование закона Био-Савара.* Элемент тока $\mathcal{I} d\mathbf{l}$ создает в вакууме или в однородной среде магнитное поле

$$d\mathbf{H} = \frac{\mathcal{I}}{cr^3} (d\mathbf{l} \times \mathbf{r}). \quad (38)$$

По принципу суперпозиции полное поле в данной точке можно получить интегрированием (38) по всем элементам тока (по $d\mathbf{l}$).

б) *Непосредственное интегрирование* системы уравнений (34), (35) с граничными условиями

$$\mathbf{n} \cdot (\mathbf{B}_2 - \mathbf{B}_1) = 0, \quad \mathbf{n} \times (\mathbf{H}_2 - \mathbf{H}_1) = \frac{4\pi}{c} \mathbf{i}, \quad (39)$$

где \mathbf{i} – плотность поверхностного тока и нормаль \mathbf{n} направлена из первой области во вторую. Если распределение токов обладает аксиальной симметрией, бывает полезна интегральная форма первого из уравнений (34):

$$\oint H_l dl = \frac{4\pi}{c} \mathcal{I}, \quad (40)$$

Здесь интеграл берется по произвольному замкнутому контуру; \mathcal{I} – полный ток, протекающий через произвольную поверхность, опирающуюся на этот контур.

в) *Метод векторного потенциала.* Векторный потенциал \mathbf{A} определяется соотношением

$$\mathbf{B} = \text{rot } \mathbf{A} \quad (41)$$

и дополнительным условием

$$\text{div } \mathbf{A} = 0. \quad (42)$$

В тех областях, где магнетик однороден, \mathbf{A} удовлетворяет уравнению

$$\Delta \mathbf{A} = -\frac{4\pi\mu}{c} \mathbf{j}. \quad (43)$$

Граничные условия для векторного потенциала вытекают из граничных условий (39) для \mathbf{B} и \mathbf{H} . Векторный потенциал, созданный заданным распределением токов, может быть записан (в однородной среде с магнитной проницаемостью μ) в виде интеграла по объему, занятому током:

$$\mathbf{A}(\mathbf{r}) = \frac{\mu}{c} \int \frac{\mathbf{j}(\mathbf{r}') dV'}{|\mathbf{r} - \mathbf{r}'|}. \quad (44)$$

Реальные системы токов ограничены в пространстве, плотности токов, потенциалы и напряженности поля таких систем становятся равными нулю на бесконечности. Однако в ряде случаев бывает удобно рассматривать бесконечные проводники с током, поле которых не исчезает на бесконечности. Получаемые при этом результаты правильно описывают поле в средней части конечного проводника, на расстояниях, малых по сравнению с его длиной.

Энергия магнитного поля, локализованная внутри некоторого объема V , выражается интегралом по этому объему:

$$W = \frac{1}{8\pi} \int (\mathbf{H} \cdot \mathbf{B}) dV. \quad (45)$$

Если система токов имеет конечные размеры, ее полная энергия может быть вычислена также по формуле

$$W = \frac{1}{2} \int (\mathbf{A} \cdot \mathbf{j}) dV, \quad (46)$$

в которой интегрирование производится по объему, занятому токами.

Магнитная энергия квазилинейного проводника с током \mathcal{I} выражается через коэффициент самоиндукции L проводника:

$$W = L\mathcal{I}^2/2c^2. \quad (47)$$

Индуктивность можно также выразить через двойной интеграл по объему проводника:

$$L = \frac{1}{\mathcal{I}^2} \iint \frac{\mathbf{j}(\mathbf{r}) \cdot \mathbf{j}(\mathbf{r}')}{|\mathbf{r} - \mathbf{r}'|} dV dV'. \quad (48)$$

Энергия взаимодействия двух проводников с током дается выражениями

$$W_{12} = \frac{1}{4\pi} \int (\mathbf{H}_1 \cdot \mathbf{B}_2) dV = \frac{1}{c} \int (\mathbf{j}_1 \cdot \mathbf{A}_2) dV_1 \quad (W_{12} = W_{21}). \quad (49)$$

Первый интеграл берется по всему пространству, второй – по объему одного из проводников. В случае квазилинейных токов энергия может быть выражена через коэффициент взаимной индукции L_{12} :

$$W_{12} = L_{12}\mathcal{I}_1\mathcal{I}_2/c^2. \quad (50)$$

Формулу (50) можно представить в виде

$$W_{12} = \mathcal{I}_1\Phi_{12}/c. \quad (51)$$

где Φ_{12} – поток магнитной индукции, создаваемый вторым током через контур первого тока:

$$\Phi_{12} = \int \mathbf{B}_2 \cdot d\mathbf{S}_1 = \oint \mathbf{A}_2 \cdot d\mathbf{l}_1 = \frac{1}{c} L_{12}\mathcal{I}_2. \quad (52)$$

Коэффициент взаимной индукции может быть получен из выражения энергии (50), потока магнитной индукции (52) или, в случае линейных токов, вычислен по формуле

$$L_{12} = \mu \oint \oint \frac{d\mathbf{l}_1 \cdot d\mathbf{l}_2}{r_{12}}. \quad (53)$$

Задание 10.

$$44 \text{ (241)}. H_r = H_z = 0; \quad H_\alpha = \frac{2\mathcal{I}r}{ca^2} \quad (r < a), \quad H_\alpha = \frac{2\mathcal{I}}{cr} \quad (a \leq r \leq b), \quad H_\alpha = 0 \quad (r > b).$$

45 (242). Рассмотрим решение задачи методом векторного потенциала. Если направить ось z вдоль оси цилиндра, то прямоугольные компоненты \mathbf{A} будут удовлетворять уравнениям:

$$\Delta A_x = 0, \quad \Delta A_y = 0, \quad \Delta A_z = -\frac{4\pi\mu_0}{c} j_z,$$

причем $j_z = 0$ при $r > a$, $j_z = \mathcal{I}/\pi a^2$ при $r \leq a$.

Поскольку в уравнения для A_x и A_y заданный ток \mathcal{I} не входит, эти компоненты можно считать равными нулю; A_z будет зависеть только от расстояния r до оси r . Интегрируя уравнение для A_z и используя условия непрерывности A_z и H_α на границе $r = a$ и ограниченности H при $r = 0$, получим:

$$\begin{aligned} \text{при } r < a \quad A_z &= C - \frac{\mu_0\mathcal{I}}{c} \left(\frac{r}{a}\right)^2, & B_\alpha &= \frac{2\mu_0\mathcal{I}}{ca^2}r, & H_\alpha &= \frac{2\mathcal{I}}{ca^2}r; \\ \text{при } r > a \quad A_z &= C - \frac{\mathcal{I}}{c} \left(\mu_0 + 2\mu \ln \frac{r}{a}\right), & B_\alpha &= \frac{2\mu\mathcal{I}}{cr}, & H_\alpha &= \frac{2\mathcal{I}}{cr}. \end{aligned} \quad \text{Константа } C \text{ – произвольна.}$$

$$46 \text{ (243)}. \text{ При } r < a \quad A_z = C_1, \quad \mathbf{B} = 0;$$

$$\begin{aligned} \text{при } a \leq r \leq b \quad A_z &= \frac{2\mu_0\mathcal{I}a^2}{c(b^2 - a^2)} \left(\ln \frac{r}{a} - \frac{r^2}{2a^2}\right) + C_2, & B_\alpha &= \frac{2\mu_0\mathcal{I}}{c(b^2 - a^2)} \left(r - \frac{a^2}{r}\right); \\ \text{при } r > b \quad A_z &= \frac{2\mu\mathcal{I}}{c} \ln \frac{b}{r} + C_3, & B_\alpha &= \frac{2\mu\mathcal{I}}{cr}. \end{aligned}$$

Остальные компоненты \mathbf{A} и \mathbf{B} равны нулю. Две любые константы, входящие в A_z , можно выразить через третью, использовав условия непрерывности векторного потенциала на границах.

$$47 \text{ (244)}. H_x = \frac{2\mathcal{I}}{ca} \left(\operatorname{arctg} \frac{a+2x}{2y} + \operatorname{arctg} \frac{a-2x}{2y} \right), \quad H_y = \frac{\mathcal{I}}{ca} \ln \frac{(x-a/2)^2 + y^2}{(x+a/2)^2 + y^2}, \quad H_z = 0.$$

Ось y перпендикулярна полосе и проходит через ее середину.

Задание 11.

$$48 \text{ (246)}. A_z = \frac{2\mathcal{I}}{c} \ln \frac{r_2}{r_1} = \frac{\mathcal{I}}{c} \ln \frac{(a+x)^2 + y^2}{(a-x)^2 + y^2}, \quad H_x = \frac{\partial A_z}{\partial y} = -\frac{8\mathcal{I}}{c} \frac{axy}{r_1^2 r_2^2}, \quad H_y = -\frac{\partial A_z}{\partial x} = -\frac{\mathcal{I}}{c} \left(\frac{a-x}{r_1^2} + \frac{a+x}{r_2^2} \right).$$

Координаты проводников с током в перпендикулярной к ним плоскости равны $(a, 0)$ для тока $+\mathcal{I}$ и $(-a, 0)$ для тока $-\mathcal{I}$; r_1 и r_2 – расстояния от точек $(a, 0)$ и $(-a, 0)$ до точки наблюдения.

49 (247). а) Между плоскостями $H = 4\pi i/c$, в остальном пространстве $H = 0$; б) между плоскостями $H = 0$, в остальном пространстве $H = 4\pi i/c$. В обоих случаях магнитное поле направлено перпендикулярно току и параллельно токонесящим плоскостям.

$$50 \text{ (248)}. H_y = \frac{2\mathcal{I}d}{c(b^2 - a^2)}, \quad H_x = H_z = 0; \text{ ось } y \text{ нормальна к плоскости, проведенной через оси цилиндров.}$$

$$51 \text{ (252)}. H_z = \frac{2\pi n_0 \mathcal{I}}{c} (\cos \theta_1 + \cos \theta_2), \text{ где (см. рис. 11) } \cos \theta_1 = \frac{h-z}{\sqrt{a^2 + (h-z)^2}}, \quad \cos \theta_2 = \frac{z}{\sqrt{a^2 + z^2}}.$$

$$52 \text{ (262)}. \mathcal{L} = \frac{1}{2} \mu_0 + 2\mu \ln \frac{b}{a}.$$

$$53 \text{ (263)}. \mathcal{L} = 2\mu \ln \frac{b}{a}.$$

V. КВАЗИСТАЦИОНАРНОЕ ЭЛЕКТРОМАГНИТНОЕ ПОЛЕ

Если период колебаний электромагнитного поля значительно превышает время распространения поля через систему:

$$T \gg \frac{l}{c}, \quad \omega \ll \frac{c}{l}, \quad (54)$$

где c – скорость света, l – линейный размер системы, то можно пренебречь конечностью скорости распространения электромагнитных возмущений внутри системы. Такое приближение называется квазистационарным.

Ток в замкнутой цепи с э.д.с. $\mathcal{E}(t)$, емкостью C , индуктивностью L и сопротивлением R , удовлетворяет в квазистационарном приближении дифференциальным уравнениям

$$\mathcal{I} = \frac{dq}{dt}, \quad \frac{1}{c^2} L \frac{d^2 q}{dt^2} + R \frac{dq}{dt} + \frac{1}{C} q = \mathcal{E}(t),$$

где q – заряд на обкладке конденсатора. При гармонической зависимости э.д.с. от времени ($\mathcal{E}(t) = \mathcal{E}_0 e^{-i\omega t}$) и установившемся режиме ток пропорционален э.д.с.:

$$\mathcal{I} = \frac{\mathcal{E}}{Z}, \quad Z = R + i \left(\frac{1}{\omega C} - \frac{\omega L}{c^2} \right). \quad (55)$$

Величина Z называется комплексным сопротивлением (импедансом) цепи.

Собственная частота ω_0 колебаний в контуре, состоящем из емкости C и самоиндукции L , дается формулой Томсона

$$\omega_0 = \frac{c}{\sqrt{LC}}. \quad (56)$$

Для разветвленной цепи дифференциальные уравнения, определяющие токи в отдельных участках, могут быть составлены на основе законов Кирхгофа.

Задание 12.

$$54 \text{ (354)}. \omega_{1,2}^2 = \frac{c^2 [(L_1 + L_2)C + L_1 C_1 + L_2 C_2] \pm c^2 \{ [L_1(C + C_1) - L_2(C + C_2)]^2 + 4L_1 L_2 C^2 \}^{1/2}}{2L_1 L_2 (C_1 C_2 + C C_1 + C C_2)}.$$

При отсутствии связи между контурами, т.е. при $C = 0$, ω_1 и ω_2 становятся равными $c/\sqrt{L_1 C_1}$ и $c/\sqrt{L_2 C_2}$, что соответствует независимым колебаниям в каждом из одиночных контуров.

При очень сильной связи ($C \gg C_1, C_2$) остается одна частота $\omega = c/\sqrt{L'C'}$, где $L' = L_1 L_2 / (L_1 + L_2)$, $C' = C_1 + C_2$. Это соответствует колебаниям в одиночном контуре, в котором параллельно включены емкости C_1, C_2 и индуктивности L_1, L_2 .

$$55 \text{ (355)}. \omega_{1,2}^2 = \frac{c^2}{2} \left(\frac{1}{LC_1} + \frac{1}{LC_2} + \frac{1}{L_1 C_1} + \frac{1}{L_2 C_2} \right) \pm \frac{c^2}{2} \left\{ \left[\frac{1}{C_1} \left(\frac{1}{L} + \frac{1}{L_1} \right) - \frac{1}{C_2} \left(\frac{1}{L} + \frac{1}{L_2} \right) \right]^2 + \frac{4}{L^2 C_1 C_2} \right\}^{1/2}.$$

$$56 \text{ (356)}. \omega_{1,2}^2 = c^2 \frac{L_1 C_1 + L_2 C_2 \pm [(L_1 C_1 - L_2 C_2)^2 + 4C_1 C_2 L_{12}^2]^{1/2}}{2C_1 C_2 (L_1 L_2 - L_{12}^2)}.$$

$$57 \text{ (358)}. \mathcal{I}_1 = \frac{\mathcal{E}}{Z_1 \left(1 + \frac{\omega^2 L_{12}^2}{c^4 Z_1 Z_2} \right)}, \quad \mathcal{I}_2 = \frac{i\omega L_{12}}{c^2 Z_2} \mathcal{I}_1; \quad Z_1 = R_1 + i \left(\frac{1}{\omega C_1} - \frac{\omega L_1}{c^2} \right), \quad Z_2 = R_2 + i \left(\frac{1}{\omega C_2} - \frac{\omega L_2}{c^2} \right);$$

$$\mathcal{I}_{1 \max} = \frac{\mathcal{E}_0}{R_1} \quad \text{при} \quad \omega = \frac{c}{\sqrt{L_1 C_1 \left(1 - \frac{L_{12}^2}{L_1 L_2} \right)}}.$$

58 (359). $Z = \frac{R - \frac{i\omega L}{c^2}}{1 - \frac{\omega^2}{\omega_1^2} - i\omega RC}$, где $\omega_1 = c/\sqrt{LC}$ – собственная частота колебаний в контуре. При $R = 0$ и

$\omega = \omega_1$ Z становится бесконечно большим. Это свойство рассмотренного двухполюсника используется в радиотехнике (запирающие фильтры).

59 [ЭСС №2 стр.301]. Импедансы трех ветвей цепи равны $Z_1 = R$, $Z_2 = \frac{i}{\omega C}$, $Z_3 = -\frac{i\omega}{c^2}L$, а токи в них связаны соотношениями

$$\mathcal{I}_1 + \mathcal{I}_2 + \mathcal{I}_3 = 0, \quad Z_1 \mathcal{I}_1 = Z_2 \mathcal{I}_2 = Z_3 \mathcal{I}_3.$$

Отсюда находим уравнение

$$\frac{1}{Z_1} + \frac{1}{Z_2} + \frac{1}{Z_3} = 0,$$

решение которого дает

$$\omega = -\frac{i}{2RC} \pm \sqrt{\frac{c^2}{LC} - \frac{1}{4R^2C^2}}.$$

VI. ЭЛЕКТРОМАГНИТНЫЕ ВОЛНЫ

Задание 13.

60 (675). Если частица, двигавшаяся с 4-импульсом p_{0i} , испустила в среде фотон с 4-импульсом $k_i = \left(\frac{\hbar\omega}{c}, \frac{\hbar\omega n}{c}\right)$, то законы сохранения энергии и импульса могут быть выражены четырехмерным равенством

$$p_{0i} = p_i + k_i,$$

где p_i – импульс частицы после излучения фотона. Перенесем k_i налево и возведем обе части получившегося равенства в квадрат. После элементарных преобразований получим

$$\cos \theta = \frac{1}{n\beta} \left[1 + \frac{\pi\Lambda}{n\lambda} (n^2 - 1) \sqrt{1 - \beta^2} \right], \quad (57)$$

где $\Lambda = \hbar/mc$ – комптонова длина волны частицы, $\lambda = 2\pi c/\omega n$ – длина волны фотона, $\beta = v/c$. Второй член, равный по порядку величины Λ/λ , обычно очень мал. Если опустить этот член, выражающий квантовые поправки (Λ пропорциональна \hbar), то выражение (57) сведется к классическому условию излучения Вавилова–Черенкова:

$$\cos \theta = \frac{1}{n\beta}.$$

62 (677). Обозначив через p_{0i} и p_i 4-импульсы частицы до и после излучения, через k_i – «4-импульс» фотона, напишем закон сохранения энергии и импульса в виде

$$p_{0i} - k_i = p_i.$$

Возводя обе части этого равенства в квадрат и отбрасывая член с \hbar^2 , получим

$$(m^2 - m_0^2) c^2 - 2\mathbf{p} \cdot \mathbf{k} + \frac{2\mathcal{E}_0 k}{c} = 0,$$

где m_0 – масса возбужденной частицы, m – масса частицы в нормальном состоянии.

Представим разность $c^2(m_0^2 - m^2)$ в виде $c^2(m_0 - m)(m_0 + m) \approx 2\hbar\omega_0 m$. Тогда

$$n(\omega)\beta \cos \theta = 1 - \frac{\omega_0}{\omega} \sqrt{1 - \beta^2}, \quad (58)$$

где $\beta = v/c$. При $\omega_0 \rightarrow 0$ равенство (58) переходит в условие

$$n(\omega)\beta \cos \theta = 1$$

возникновения излучения Вавилова–Черенкова. Это излучение не связано, таким образом, с изменением внутреннего состояния частицы.

При $\omega_0 \neq 0$ перепишем (58) в виде

$$\omega = \frac{\omega_0 \sqrt{1 - \beta^2}}{1 - n(\omega)\beta \cos \theta}. \quad (59)$$

Формулой (59) описывается эффект Доплера в преломляющей среде (ср. с задачей (585)). Она применима, если $n(\omega)\beta \cos \theta < 1$ и отличается от соответствующей формулы, описывающей эффект Доплера в вакууме, только наличием $n(\omega)$ в знаменателе. При $\beta \ll 1$ никаких качественно новых явлений не возникает, но при $\beta \approx 1$ и при наличии дисперсии в среде явление усложняется.

В общем случае формула (59) представляет собой нелинейное уравнение относительно ω (n – функция ω !) и может иметь более чем одно решение. При этом вместо одной смещенной линии, как в обычном эффекте Доплера, в лабораторной системе будет наблюдаться несколько линий (сложный эффект Доплера).

63 [ЭСС №1 стр. 411]. Коэффициент отражения электромагнитных волн на границе раздела двух сред при их наклонном падении из первой среды задается формулой:

$$R_{\perp} = \left| \frac{\sqrt{\varepsilon_1} \cos \theta_0 - \sqrt{\varepsilon_2 - \varepsilon_1 \sin^2 \theta_0}}{\sqrt{\varepsilon_1} \cos \theta_0 + \sqrt{\varepsilon_2 - \varepsilon_1 \sin^2 \theta_0}} \right|^2, \quad R_{\parallel} = \left| \frac{\varepsilon_2 \cos \theta_0 - \sqrt{\varepsilon_1(\varepsilon_2 - \varepsilon_1 \sin^2 \theta_0)}}{\varepsilon_2 \cos \theta_0 + \sqrt{\varepsilon_1(\varepsilon_2 - \varepsilon_1 \sin^2 \theta_0)}} \right|^2. \quad (60)$$

Оба коэффициента (60) обращаются в 1 при угле полного внутреннего отражения θ_r , $\sin \theta_r = \sqrt{\varepsilon_2/\varepsilon_1} = n_2/n_1$.

Таким образом, полагаем $\theta_0 = \theta_r - \delta$, где δ – малая величина, и разлагаем в формулах (60) $\sin \theta_0$ и $\cos \theta_0$ по степеням δ . В результате получаем:

$$R_{\perp} = 1 - 4\sqrt{2\delta}(n^2 - 1)^{-1/4}, \quad R_{\parallel} = 1 - 4\sqrt{2\delta}n^2(n^2 - 1)^{-1/4},$$

где $n^2 = \varepsilon_1/\varepsilon_2 > 1$. Производные $dR/d\delta$ обращаются при $\delta \rightarrow 0$ в бесконечность как $\delta^{-1/2}$.

64 [ЭСС №2 стр. 411]. Формулы (60) дают одинаковый коэффициент отражения:

$$R_{\perp} \approx R_{\parallel} \approx \frac{(\varphi_0 - \sqrt{\varphi_0^2 + \varepsilon - 1})^4}{(\varepsilon - 1)^2}, \quad \text{где } \varphi_0 = \pi/2 - \theta_0.$$